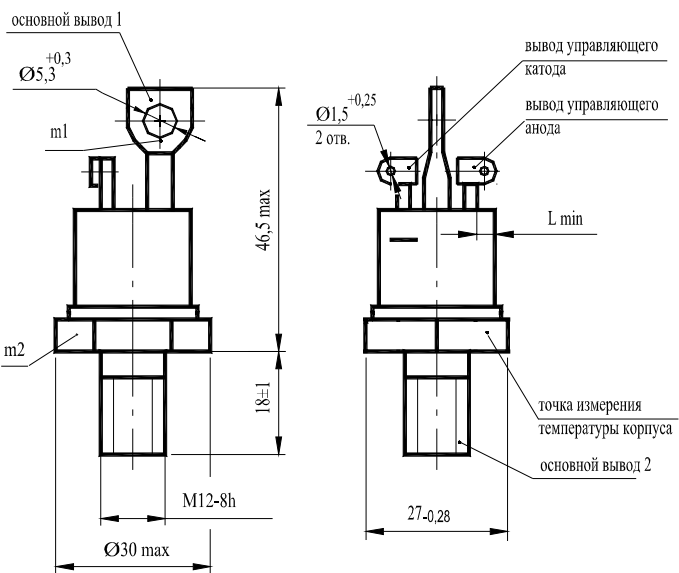


ОПТОТРИАКИ

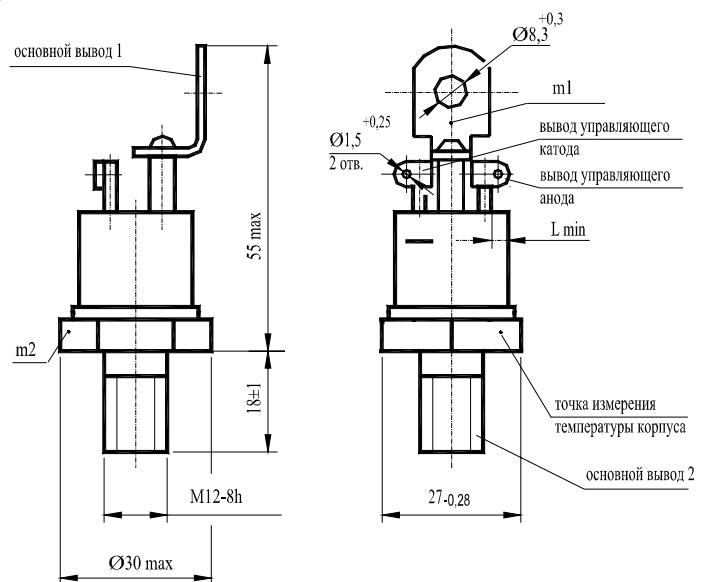
TCO152-100, TCO152-125

Конструкция оптотриаков

Вариант I



Вариант II



m_1, m_2 - контрольные точки измерения импульсного напряжения в открытом состоянии;

$L_{min} = 4,30$ мм - длина пути для тока утечки между основным выводом 2 и выводом управляющего электрода.

Механические параметры

Наименование, единица измерения	Тип оптотриака	
	TCO152-100	TCO152-125
Масса оптотриака, г, не более	100,0	
Растягивающая сила, Н	для основного вывода 1	$39,2 \pm 4,0$
	для выводов управляющего электрода	$9,8 \pm 0,1$
Крутящий момент, Нм	для основного вывода 2	$14,0 \pm 1,4$

Параметры закрытого состояния

Обозначение параметра	Наименование, единица измерения	Тип оптотриака		Условия установления норм на параметры
		TCO152-100	TCO152-125	
U_{DRM}	Повторяющееся импульсное напряжение в закрытом состоянии, В, для класса:			$T_{jm} = 100 \text{ }^{\circ}\text{C}$, Импульс напряжения синусоидальный, однополупериодный, $t_{i\max} = 10 \text{ мс}, f = 50 \text{ Гц}$
	2 4 5 6 8 9 10 11 12	200 400 500 600 800 900 1000 1100 1200		
U_{DSM}	Неповторяющееся импульсное напряжение в закрытом состоянии, В, для класса:			$T_{jm} = 100 \text{ }^{\circ}\text{C}$, Импульс напряжения синусоидальный, одиночный, однополупериодный, $t_{i\max} = 10 \text{ мс}$
	2 4 5 6 8 9 10 11 12	220 450 560 670 890 1000 1100 1200 1300		
U_D	Постоянное напряжение в закрытом состоянии, В	$0,6U_{DRM}$		$T_c = 70 \text{ }^{\circ}\text{C}$
U_{DWM}	Импульсное рабочее напряжение в закрытом состоянии, В	$0,8U_{DRM}$		$T_{jm} = 100 \text{ }^{\circ}\text{C}$, Импульс напряжения синусоидальный, однополупериодный, $t_{i\max} = 10 \text{ мс}, f = 50 \text{ Гц}$
$(dU_D/dt)_{com}$	Критическая скорость нарастания коммутационного напряжения, В/мкс, не менее, для группы:			$T_{jm} = 100 \text{ }^{\circ}\text{C}, U_D = 0,67U_{DRM}, I_T = I_{TRMSM}$, $(di/dt)_f = 0,025 \text{ А/мкс}$ для TCO152-100, $(di/dt)_f = 0,030 \text{ А/мкс}$ для TCO152-125 Длительность напряжения в закрытом состоянии на уровне 0,9 от амплитудного значения 250 мкс. Режим цепи управления: форма произвольная, $U_{Gmax} = 3,5 \text{ В}$ (при подключенном оптотриаке), $t_{Gmax} = 1 \text{ мс}$, длительность фронта не нормируется
I_{DRM}	Повторяющийся импульсный ток в закрытом состоянии, мА, не более	0	не нормируется, но не менее 1	
		1 2 3 4 5	2,5 4,0 6,3 10 16	$T_j = 25 \text{ }^{\circ}\text{C}, U_D = U_{DRM}$
			2,8	$T_{jm} = 100 \text{ }^{\circ}\text{C}, U_D = U_{DRM}$
			8,0	

Параметры открытого состояния

Обозначение параметра	Наименование, единица измерения	Тип оптотриака		Условия установления норм на параметры
		TCO152-100	TCO152-125	
I_{TRMSM}	Максимально допустимый действующий ток в открытом состоянии, А	100	125	$T_c = 70^\circ\text{C}$, импульс тока синусоидальный, $f = 50 \text{ Гц}$
I_{TSM}	Ударный ток в открытом состоянии, А	990	1210	$T_j = 25^\circ\text{C}$
		900	1100	$T_{jm} = 100^\circ\text{C}$ Импульс тока синусоидальный, одиничный, $t_i = 20 \text{ мкс}$. Режим цепи управления: импульс тока трапецидальный, $I_G = 500 \text{ мА}$, $t_G = 100 \text{ мкс}$, длительность фронта 10 мкс, сопротивление источника управления не более 20 Ом
U_{TM}	Импульсное напряжение в открытом состоянии, В, не более	1,60	1,40	$T_j = 25^\circ\text{C}$, $I_T = 1,41I_{TRMSM}$
$U_{T(TO)}$	Пороговое напряжение в открытом состоянии, В	0,9		$T_{jm} = 100^\circ\text{C}$
r_T	Динамическое сопротивление в открытом состоянии, Ом	0,005	0,004	$T_{jm} = 100^\circ\text{C}$
I_H	Ток удержания, мА, не более	10		$T_j = 25^\circ\text{C}$, $U_D = 12 \text{ В}$
I_L	Ток включения, мА, не более	25		$T_j = 25^\circ\text{C}$, $U_D = 12 \text{ В}$ Режим цепи управления: импульс тока трапецидальный, $I_G = 500 \text{ мА}$, $t_G = 100 \text{ мкс}$, длительность фронта не более 0,5 мкс, сопротивление источника управления не более 50 Ом
I_{TRMS}	Действующий ток в открытом состоянии, А	26	28	$T_a = 40^\circ\text{C}$, естественное охлаждение, охладитель OP151-80

Параметры гальванической развязки

Обозначение параметра	Наименование, единица измерения	Тип оптотриака		Условия установления норм на параметры
		TCO152-100	TCO152-125	
U_{IG}	Электрическая прочность изоляции между основными выводами и выводами управляющего электрода, В, действующее значение	2000		Напряжение синусоидальное, $f = 50 \text{ Гц}$. Длительность приложения напряжения 60 с. Нормальные климатические условия
R_{IG}	Сопротивление изоляции между основными выводами и выводами управляющего электрода, МОм, не менее	10		$U_{IG} = 1000 \text{ В}$ При нормальных климатических условиях
		1		$U_{IG} = 1000 \text{ В}$ При повышенной влажности воздуха (более 80%)

Параметры переключения

Обозначение параметра	Наименование, единица измерения	Тип оптотриака		Условия установления норм на параметры
		TCO152-100	TCO152-125	
$(di_T/dt)_{crit}$	Критическая скорость нарастания тока в открытом состоянии, А/мкс, не менее		6,3	$T_{j_m} = 100 \text{ }^{\circ}\text{C}$, $U_D = 0,67U_{DRM}$, $I_T = 2 I_{TRMSM}$, $f = 1-5 \text{ Гц}$ Режим цепи управления: импульс тока трапециoidalный, $I_G = (500 \pm 25) \text{ mA}$, $t_G = 100-200 \text{ мс}$, $(di_G/dt)_f = 1 \text{ A/мкс}$, сопротивление источника управления не более 20 Ом
t_{gt}	Время включения, мкс, не более		16	$T_j = 25 \text{ }^{\circ}\text{C}$, $U_D = 100 \text{ В}$, $I_T = I_{TRMSM}$, Режим цепи управления: импульс тока трапециoidalный, $I_G = 500 \text{ mA}$, $t_G = 100 \text{ мкс}$, длительность фронта не более 0,5 мкс, сопротивление источника управления не более 50 Ом
t_{gd}	Время задержки, мкс, не более		6	

Параметры управления

Обозначение параметра	Наименование, единица измерения	Тип оптотриака		Условия установления норм на параметры
		TCO152-100	TCO152-125	
U_{GT}	Отпирающее постоянное напряжение управления, В, не более (для приборов с индексом "A")		1,8	$T_j = 25 \text{ }^{\circ}\text{C}$, $U_D = 12 \text{ В}$
I_{GT}	Отпирающий постоянный ток управления, мА, не более (для приборов с индексом "A")		80	$T_j = 25 \text{ }^{\circ}\text{C}$, $U_D = 12 \text{ В}$
$I_{GT\ max}$	Максимально допустимый постоянный ток управления, мА (для приборов с индексом "A")		100	$T_j = 25 \text{ }^{\circ}\text{C}$, $U_D = 12 \text{ В}$
U_{GTM}	Отпирающее импульсное напряжение управления, В, не более		3,5	$T_j = \text{минус } 50 \text{ }^{\circ}\text{C}$
			2,5	$T_j = \text{минус } 10 \text{ }^{\circ}\text{C}$
			2,0	$T_j = 25 \text{ }^{\circ}\text{C}$, $U_D = 12 \text{ В}$ Режим цепи управления: форма - трапециoidalная, $t_G = 100 \text{ мкс}$
I_{GTM}	Отпирающий импульсный ток управления, мА, не более		600	$T_j = \text{минус } 50 \text{ }^{\circ}\text{C}$
			400	$T_j = \text{минус } 10 \text{ }^{\circ}\text{C}$
			250	$T_j = 25 \text{ }^{\circ}\text{C}$, $t_i = 100 \text{ мкс}$
$I_{GTM\ max}$	Максимально допустимый импульсный ток управления, мА		700	$t_i = 100 \text{ мкс}$, скважность $k = 10$
U_{gd}	Неотпирающее напряжение управления, В, не менее		0,8	$T_j = 100 \text{ }^{\circ}\text{C}$, $U_D = 0,67U_{DRM}$ Режим цепи управления: форма - трапециoidalная, $t_G = 100 \text{ мкс}$

Тепловые параметры

Обозначение параметра	Наименование, единица измерения	Тип оптотриака		Условия установления норм на параметры
		TCO152-100	TCO152-125	
T_{jm}	Максимально допустимая температура перехода, °C	100		
T_{jmin}	Минимально допустимая температура перехода, °C	минус 50 (минус 60 для УХЛ2.1)		
$T_{stg\ m}$	Максимально допустимая температура хранения, °C	40 (50 для Т3)		
$T_{stg\ min}$	Минимально допустимая температура перехода, °C	минус 50		
R_{thje}	Тепловое сопротивление переход -корпус, °C/Вт, не более	0,22	0,21	Постоянный ток
R_{thch}	Тепловое сопротивление корпус -охладитель, °C/Вт, не более	0,15		Естественное охлаждение. Охладитель ОР151-80.
R_{thja}	Тепловое сопротивление переход -среда (с охладителем), °C/Вт, не более	2,49	2,45	Постоянный ток.

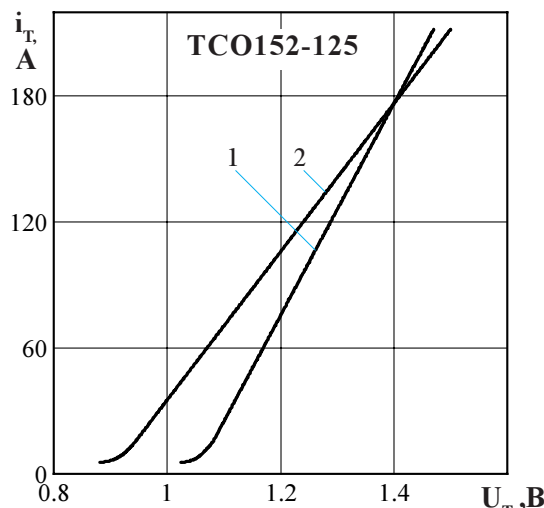
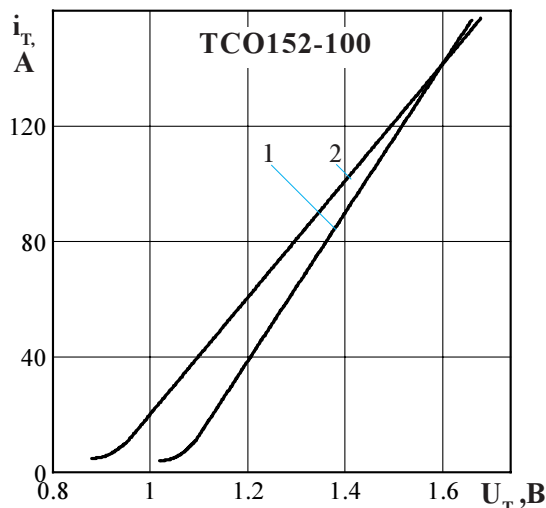


Рисунок 1 - Предельная вольтамперная характеристика в открытом состоянии при температуре перехода 25°C (1) и максимальной температуре перехода T_{jm} (2) $I_T = 1,41I_{TRMS}$

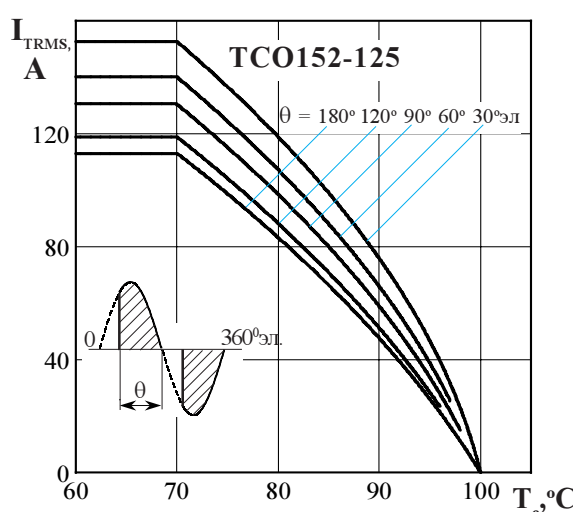
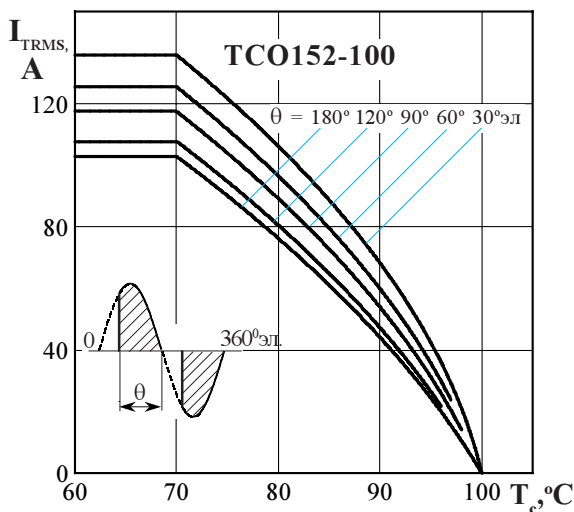


Рисунок 2 - Зависимость допустимого действующего тока в открытом состоянии I_{TRMS} от температуры корпуса T_c для токов синусоидальной формы частотой $f = 50$ Гц

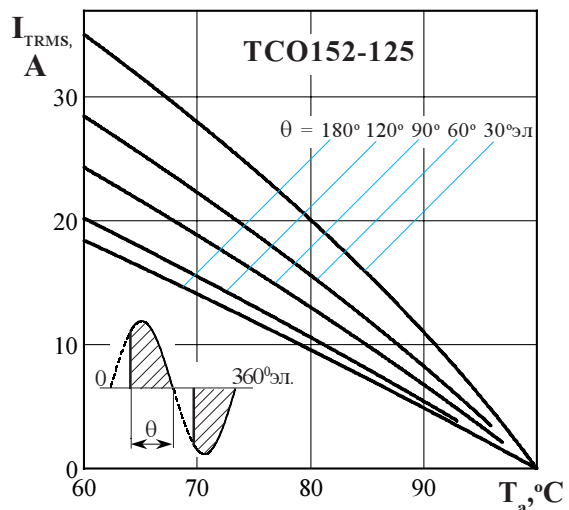
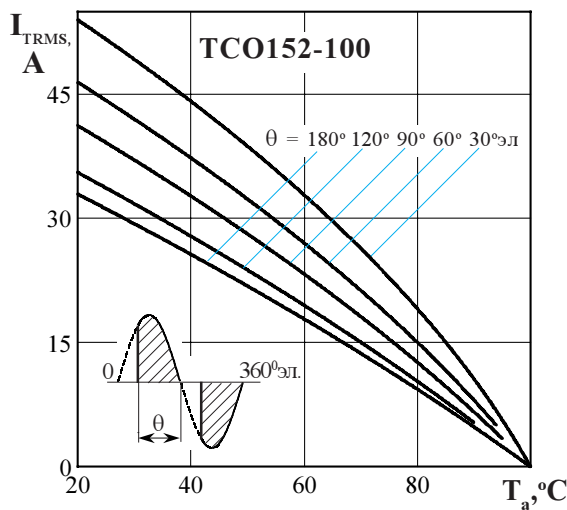


Рисунок 3 - Зависимость допустимого действующего тока в открытом состоянии I_{TRMS} от температуры окружающей среды T_a при естественном охлаждении на типовом охладителе при различных углах проводимости

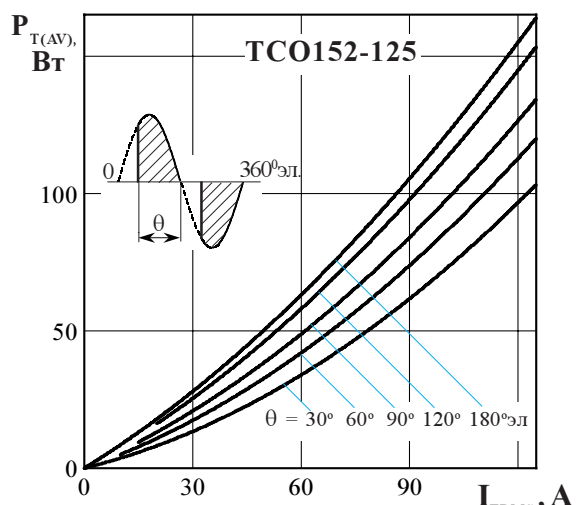
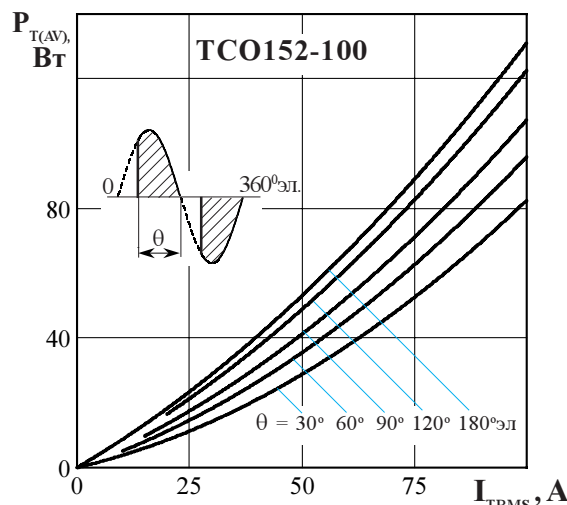


Рисунок 4 - Зависимость средней мощности потерь $P_{T(\text{AV})}$ от действующего значения тока I_{TRMS} в открытом состоянии синусоидальной формы частотой $f = 50$ Гц

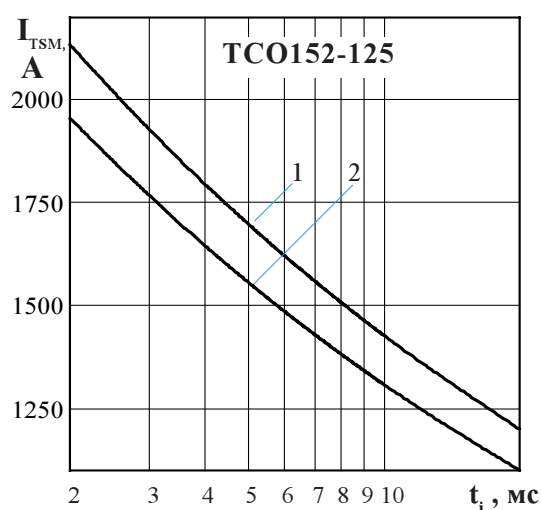
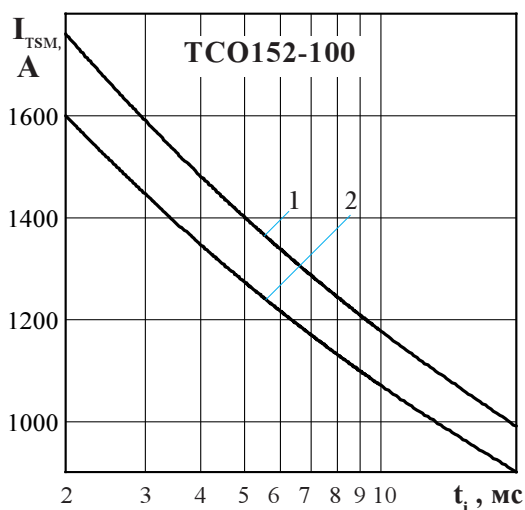


Рисунок 5 - Зависимость допустимой амплитуды ударного тока в открытом состоянии I_{TSM} от длительности импульса тока t_i при исходной температуре структуры $T_j = 25^\circ\text{C}$ (1) и максимальной температуре T_{jm} (2)

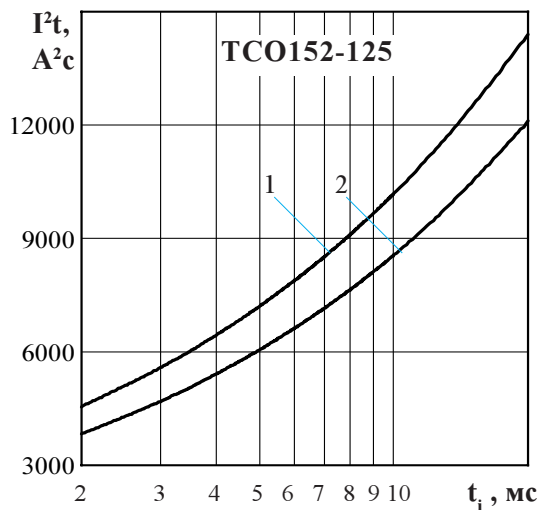
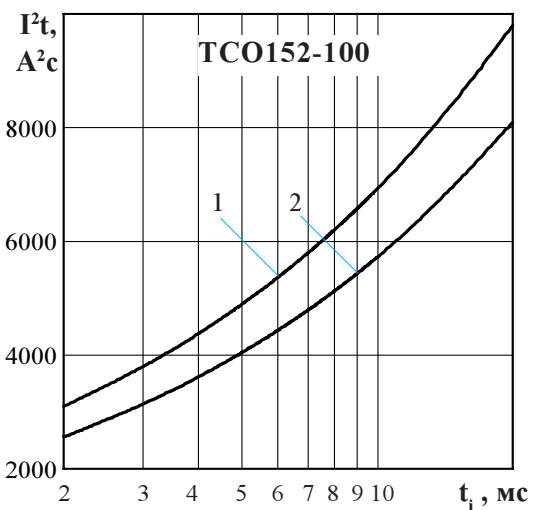


Рисунок 6 - Зависимость защитного показателя I^2t от длительности импульса тока t_i при исходной температуре структуры $T_j = 25$ °C (1) и максимальной температуре T_{jm} (2)

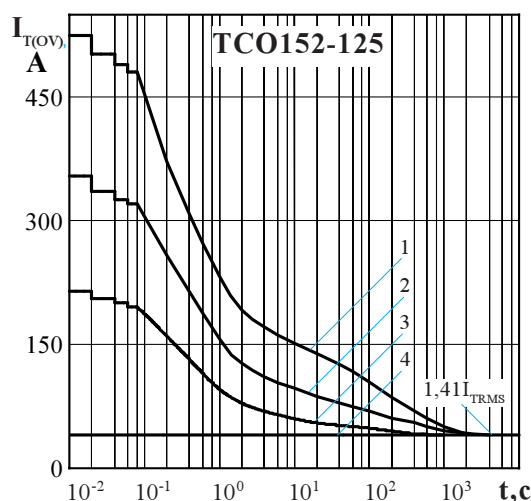
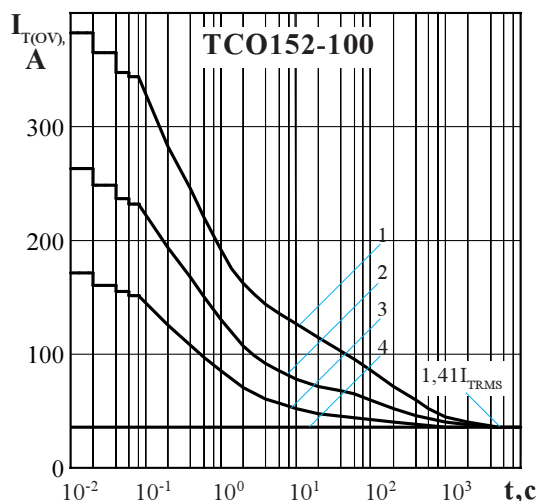


Рисунок 7 - Зависимость допустимой амплитуды тока перегрузки в открытом состоянии $I_{T(OV)}$ синусоидальной формы частотой $f = 50$ Гц от длительности перегрузки t при естественном охлаждении на типовом охладителе при отношении тока, предшествующего перегрузке, I_t к допустимому действующему току триака I_{TRMS} равному $k = I_t / I_{TRMS}$; $k = 0$ (1); 0,5 (2); 0,75 (3); 1,0 (4).

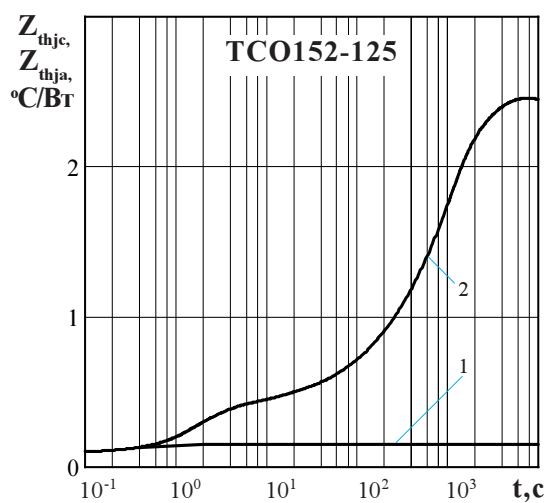
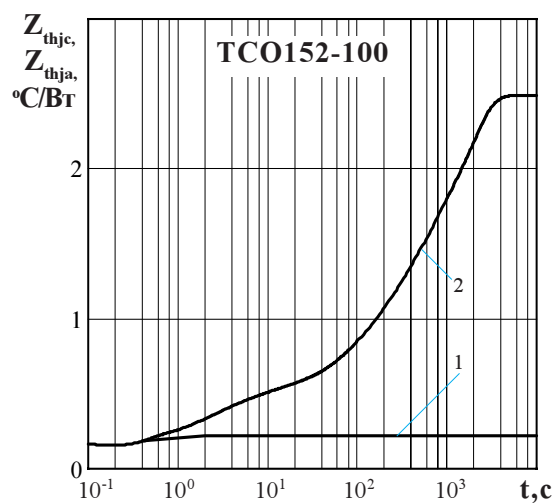


Рисунок 8 - Зависимость переходного теплового сопротивления переход - корпус Z_{thjc} (1) и переход - среда Z_{thja} (2) от времени t при естественном охлаждении на типовом охладителе при температуре окружающей среды $T_a = 40$ °C.

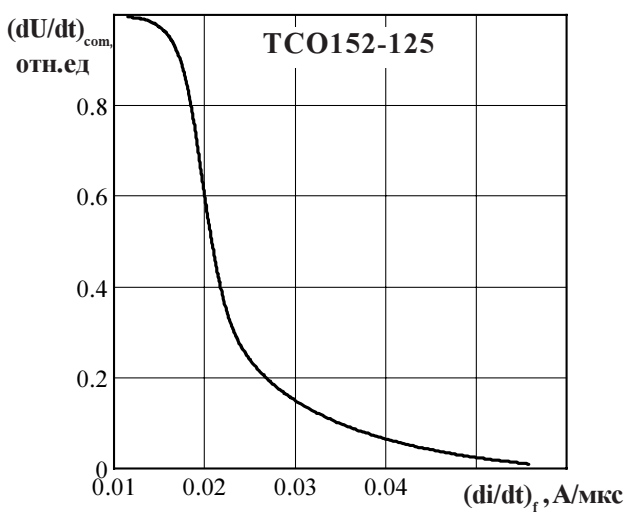
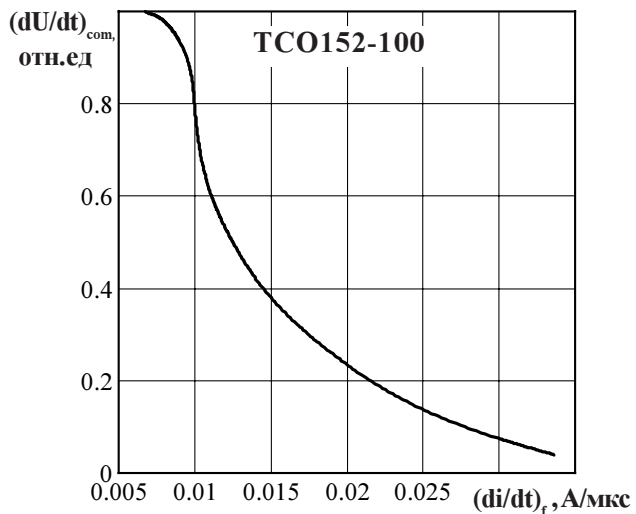


Рисунок 9 - Зависимость критической величины скорости нарастания коммутационного напряжения $(dU/dt)_{\text{com}}$ от скорости спада предшествующего тока в открытом состоянии $(di_T/dt)_f$ при амплитуде предшествующего тока в открытом состоянии $I_T = I_{\text{TRMSM}}$ и максимально допустимой температуре перехода T_{jm} .